

На правах рукописи

**Алешин Сергей Владимирович**

**ИССЛЕДОВАНИЕ ДИНАМИКИ  
ЛОГИСТИЧЕСКОГО УРАВНЕНИЯ  
С ДИФФУЗИЕЙ И ОТКЛОНЕНИЯМИ АРГУМЕНТОВ**

05.13.18 – Математическое моделирование, численные методы  
и комплексы программ

Автореферат  
диссертации на соискание ученой степени  
кандидата физико-математических наук

Ярославль – 2015

Работа выполнена на кафедре математического моделирования  
федерального государственного бюджетного образовательного учреждения  
высшего профессионального образования «Ярославский государственный  
университет им. П.Г. Демидова»

- Научный руководитель — доктор физико-математических наук,  
профессор Кащенко Сергей Александрович,
- Официальные оппоненты: Малинецкий Георгий Геннадьевич,  
доктор физико-математических наук, профессор,  
ФГБУН Институт прикладной  
математики им. М.В. Келдыша РАН;  
заведующий отделом моделирования  
нелинейных процессов;
- Нефедов Николай Николаевич,  
доктор физико-математических наук, профессор,  
ФГБОУ ВО «Московский государственный  
университет им. М.В. Ломоносова»,  
заведующий кафедрой математики.
- Ведущая организация — Федеральное государственное бюджетное  
учреждение науки  
Институт радиотехники и электроники  
им. В.А. Котельникова  
Российской академии наук.

Защита состоится «11» декабря 2015 г. в 15:00 на заседании диссертаци-  
онного совета Д 212.002.05 при Ярославском государственном университете  
им П.Г. Демидова по адресу: 150000, г. Ярославль, ул. Советская, д. 14.

С диссертацией можно ознакомиться в научной библиотеке Ярославского  
государственного университета им. П.Г. Демидова по адресу: 150000, г. Яро-  
славль, ул. Полушкина роща, д. 1. и на официальном сайте организации:  
<http://www.uniyar.ac.ru>

Автореферат разослан «\_\_» ноября 2015 г.

Ученый секретарь  
диссертационного совета



Глызин С.Д.

# ОБЩАЯ ХАРАКТЕРИСТИКА РАБОТЫ

## Актуальность темы исследования

Уравнения типа «реакция–диффузия» являются модельными для широкого класса задач нелинейной динамики и находят применение в большом числе физических и биологических приложений (радиофизика, оптоэлектроника, гидродинамика и популяционная динамика). Одним из простейших представителей уравнений такого типа, сохраняющих, тем не менее, их ключевые свойства, является логистическое уравнение с диффузией и отклонениями аргументов. Изучение этого уравнения современными аналитическими и, согласованными с аналитическими, численными методами, выполненное в диссертации, позволило найти и описать ряд новых явлений. Этим определяется актуальность проведенного в работе исследования.

## Цели работы

Объектами исследования диссертационной работы являются распределенные по пространству и времени динамические системы. Изучаются основные качественные свойства их решений. Для одного из наиболее важных представителей этого класса — логистического уравнения с диффузией и отклонениями пространственного и временного аргументов выполнен численный анализ, основанный на предваряющем его применении асимптотических методов. Целью исследования было получить описание качественного поведения задач данного класса, используя современные бифуркационные асимптотические и, согласованные с ними, численные методы. Для достижения этой цели были поставлены и решены следующие задачи:

1. Рассмотрено логистическое уравнение с запаздыванием; исследована его локальная динамика; определены критические случаи в задаче об устойчивости состояния равновесия, а также численно проиллюстрированы полученные аналитические результаты.
2. Исследована задача распространения волны плотности в логистическом уравнении с запаздыванием и диффузией. Выделены значения запаздывания при которых качественно меняется профиль волны.
3. Изучена динамика распространения волны плотности в логистическом уравнении с отклонением пространственной переменной и диффузией. Выделены значения отклонения при которых качественно меняется профиль волны.
4. Разработан алгоритм вычисления инвариантных размерностных характеристик для дифференциальных уравнений с запаздыванием. Разработанный метод протестирован на логистическом уравнении с запаздыванием. Проиллюстрирована применимость алгоритма к задачам с запаз-

дыванием, для которых возможно наличие режима гиперхаоса (логистическое уравнение с двумя запаздываниями, уравнения диффузионного взаимодействия пары близких осцилляторов нейронного типа без учета и с учетом запаздывания в цепочке связи между осцилляторами, системы уравнений Ланга-Кобаяши и Стюарта-Ландау).

## **Методология и методы исследования**

В работе используются известные бифуркационные асимптотические методы исследования систем дифференциальных уравнений. Методика их применения хорошо развита и изложена в большом числе работ. Следует отметить, что при всем этом развитие аналитических методов для анализа систем нелинейных дифференциальных уравнений с запаздыванием очевидным образом отстает от потребностей приложений, а методики, разработанные для систем обыкновенных дифференциальных уравнений, часто оказываются неприменимыми. В силу принципиальной сложности данных систем особую значимость приобретает разработка новых методов исследования качественного поведения решений и применение, согласованных с ними, численных методов.

## **Научная новизна**

Научная новизна работы состоит в следующем:

1. Выполнены локальный и связанный с ним численный анализ логистического уравнения с запаздыванием. Получена асимптотика устойчивого цикла изучаемой задачи.
2. Проведено качественное исследование логистического уравнения с диффузией и отклонениями временного и пространственного аргументов вблизи единичного состояния равновесия. Выполнено подробное численное исследование распространения волны концентрации в логистическом уравнении с диффузией и отклонениями временной и пространственной переменных.
3. Разработан алгоритм вычисления ляпуновских экспонент для дифференциальных уравнений с запаздыванием. Рассчитаны ляпуновские экспоненты и ляпуновская размерность аттрактора нескольких задач с запаздываниями, обладающих решениями со сложным нерегулярным поведением.

## **Положения, выносимые на защиту**

1. На основе построения квазинормальной формы сингулярно возмущенного логистического уравнения с запаздыванием получена асимптотика его устойчивого цикла.

2. В задаче о распространении волны возмущения, описываемой логистическим уравнением с диффузией и запаздыванием, найдены промежутки значений запаздывания, для которых профиль волны качественно отличается.
3. Для логистического уравнения с диффузией и отклонением пространственной переменной в задаче о распространении волны возмущения от начального импульса определены значения отклонения, для которых профили волны качественно отличаются.
4. Разработан и протестирован алгоритм вычисления инвариантных размерностных характеристик для дифференциальных уравнений с запаздыванием. Выполнен численный эксперимент по расчету ляпуновских экспонент и ляпуновской размерности для нескольких задач с запаздываниями, обладающих решениями со сложным нерегулярным поведением.

## **Теоретическая и практическая значимость работы**

Теоретическая и практическая значимость проведенного диссертационного исследования заключается в том, что используемые в работе методы и полученные в диссертации результаты могут быть использованы для решения широкого круга задач нелинейной динамики в математической экологии, биологии и физике.

## **Личный вклад соискателя**

Все основные результаты получены автором самостоятельно. Постановка задач и интерпретация результатов, представленных в диссертационной работе, выполнялись совместно с научным руководителем. Из работ, выполненных в соавторстве, в диссертацию включены результаты, полученные лично автором при исследовании поставленных задач.

## **Апробация работы**

Результаты работы были представлены на следующих научных семинарах и конференциях:

1. International Conference on Computer Simulation in Physics and beyond September 6–10, 2015, Moscow, Russia.
2. Расширенный научный семинар «Методы суперкомпьютерного моделирования» на базе «Интеркосмос» ИКИ РАН в г. Таруса 21–23 апреля 2015 г.
3. Международный научный семинар «Актуальные проблемы математической физики» г. Москва, МГУ, 2014 г.
4. Расширенный научный семинар «Методы суперкомпьютерного моделирования» на базе «Интеркосмос» ИКИ РАН в г. Таруса 1–3 октября 2014 г.

5. Международная конференция «Нелинейные явления в задачах современной математики и физики», посвященная 210-летию Демидовского университета, Ярославль, 4–5 декабря 2013 г.

В ходе работы над диссертацией разработан программный комплекс «Оценка показателей Ляпунова для систем дифференциальных уравнений с запаздывающим аргументом», получено свидетельство о государственной регистрации программы для ЭВМ №2013619678, Москва, 2013.

Частично результаты диссертационной работы получены при финансовой поддержке гранта Российского научного фонда (проект № 14-21-00158).

Кроме того, результаты диссертации неоднократно докладывались на семинаре «Нелинейная динамика и синергетика» кафедры математического моделирования Ярославского государственного университета им. П.Г. Демидова.

## Публикации

По теме диссертации автором опубликовано 9 статей и тезисов докладов, в том числе 3 статьи в рецензируемых журналах, рекомендованных ВАК. Список публикаций приведен в конце автореферата.

## Структура и объем работы

Диссертация состоит из введения, четырех глав, заключения, списка литературы, содержащего 112 наименований и трех приложений. Диссертация содержит 36 рисунков, две таблицы. Общий объем диссертации составляет 92 страницы.

## СОДЕРЖАНИЕ ДИССЕРТАЦИИ

Во **введении** приводится общая характеристика работы, обосновывается актуальность выбранного направления исследования, приводится краткий обзор литературы по исследуемой в работе тематике, описываются цели и постановки основных задач работы, отмечается научная новизна и значимость результатов, выносимых на защиту, а также описывается общая структура диссертационной работы.

Кратко изложим содержание работы.

В **первой главе** диссертационной работы рассмотрено логистическое уравнение с запаздыванием<sup>1</sup>:

$$\dot{u} = \lambda[1 - \alpha u - (1 - \alpha)u(t - 1)]u, \quad 0 < \alpha < 1. \quad (1)$$

Начальные функции  $\varphi \in C[-1, 0]$  для уравнения (1) предполагаются неотрицательными. В этом случае начальная задача Коши разрешима и решение не отрицательно при  $t > 0$ . Нулевое состояние равновесия является

---

<sup>1</sup> *Wright, E. M.* A non-linear differential equation / *E. M. Wright* // *J. Reine Angew. Math.* 1955. Vol. 194. №1–4, P. 66–87.

неустойчивым. Для определения устойчивости единичного состояния равновесия описываются возможные случаи расположения корней характеристического уравнения

$$\mu = -\lambda[\alpha + (1 - \alpha) \exp(-\mu)]. \quad (2)$$

Хорошо известны следующие три утверждения<sup>2</sup>.

**Лемма 1.** Пусть  $\alpha > \frac{1}{2}$ . Тогда все корни (2) имеют отрицательные вещественные части.

**Лемма 2.** Пусть  $\alpha < \frac{1}{2}$ . Тогда все корни (2) удовлетворяют неравенству

$$\operatorname{Re} \mu \leq \ln \frac{b}{a}.$$

**Лемма 3.** Пусть выполнено неравенство  $\alpha < 1/2$ . Тогда найдется такое  $\lambda_0 = \lambda_0(\alpha)$ , что при  $\lambda < \lambda_0(\alpha)$  все корни (2) имеют отрицательные вещественные части, а при  $\lambda > \lambda_0(\alpha)$  у уравнения (2) существует корень с положительной вещественной частью.

Пусть

$$\lambda = \lambda_0(\alpha_0) + \varepsilon \lambda_1, \quad \alpha = \alpha_0 + \varepsilon \lambda_1, \quad (3)$$

где  $\varepsilon$  — малый параметр:

$$0 < \varepsilon \ll 1. \quad (4)$$

При  $\varepsilon = 0$  уравнение (2) имеет пару чисто мнимых корней  $\mu_{1,2} = \pm i\omega$  ( $\omega > 0$ ), а все остальные его корни имеют отрицательные вещественные части. При условиях (3),(4) имеет место бифуркация Андронова–Хопфа: это означает, что в достаточно малой (и не зависящей от  $\varepsilon$ ) окрестности  $u_0 \equiv 1$  уравнение (1) имеет локальное устойчивое двумерное инвариантное интегральное многообразие. На нем это уравнение представимо (при выполнении некоторых условий типа невырожденности) в виде комплексного уравнения первого порядка

$$\frac{d\xi}{dt} = \varepsilon a_1 \xi + d|\xi|\xi + O(\varepsilon^2 + |\xi|^2), \quad (5)$$

где

$$\begin{aligned} a_1 &= -[1 - (1 - \alpha_0)\lambda_0 \exp(-i\omega)]^{-1} \cdot [\lambda_1(1 + (1 - \alpha_0) \exp(-i\omega)) + \\ &\quad + \lambda_0 \alpha_1(1 + \exp(-i\omega))], \\ d &= -\lambda_0^2 [1 - \lambda_0(1 - \alpha_0) \exp(-i\omega)]^{-1} \cdot [2\alpha_0 + (1 - \alpha_0)(\exp(i\omega) + \exp(-2i\omega))] \times \\ &\quad \times (1 - \alpha_0)i \sin \omega \cdot [2i\omega + \alpha_0 \lambda_0 + (1 - \alpha_0)\lambda_0] \exp(-2i\omega)]^{-1}. \end{aligned}$$

<sup>2</sup>Kashchenko, S.A. Asymptotics of the Solutions of the Generalized Hutchinson Equation / S.A. Kashchenko // Automatic Control and Computer Science. 2013. Vol. 47, №7. P. 470–494.

На основе анализа нормальной формы (5) может быть сформулировано следующее утверждение.

**Теорема 1.** Пусть  $\operatorname{Re} a_1 > 0$  и  $\operatorname{Re} d < 0$ . Тогда существует такое  $\varepsilon_0 > 0$ , что при всех  $\varepsilon \in (0, \varepsilon_0]$  уравнение (1) имеет орбитально асимптотически устойчивое периодическое решение  $u_0(t, \varepsilon) = 1 + \varepsilon^{1/2} \rho_0 \cos[(\omega + \varepsilon \varphi_0 + o(\varepsilon^2))t] + o(\varepsilon)$  периода  $T(\varepsilon) = 2\pi\omega^{-1}(1 + \varepsilon\varphi_0\omega^{-1} + o(\varepsilon^2))$ .

Далее в работе строится квазинормальная форма в сингулярно возмущенном случае. Основное предположение состоит в том, что выполнено условие

$$\lambda^{-1} = \varepsilon \ll 1, \quad \nu = c\varepsilon^2 \quad (6)$$

и

$$\lambda_k(\varepsilon) = \lambda_{k_0} + \varepsilon\lambda_{k_1} + \varepsilon^2\lambda_{k_2} + \dots,$$

где

$$\begin{aligned} \lambda_{k_0} &= \pi(2k+1)i, & \lambda_{k_1} &= -2\pi(2k+1)i, \\ \lambda_{k_2} &= -2\pi^2(2k+1)^2 + 4\pi(2k+1)i - 2c. \end{aligned}$$

Для определения неизвестной амплитуды  $\xi(\tau, y)$  получаем уравнение:

$$\frac{1}{2} \frac{\partial \xi}{\partial \tau} = \frac{\partial^2 \xi}{\partial y^2} + 2 \frac{\partial \xi}{\partial y} - c\xi + \xi^2 \frac{\partial \xi}{\partial y} \quad (7)$$

с антипериодическими краевыми условиями

$$\xi(\tau, y+1) \equiv -\xi(\tau, y). \quad (8)$$

Отметим, что решения  $\xi(\tau, y)$  рассматриваются при  $\tau > 0$  как функции по  $y$  из соболевского пространстве  $W_2^2(0, 1)$  с антипериодическими краевыми условиями. Отсюда вытекает следующее утверждение.

**Теорема 2.** Пусть краевая задача (7), (8) имеет при всех  $\tau > \tau_0$  ограниченное вместе с производными по  $\tau$  и по  $y$  решение  $\xi_0(\tau, y)$ . Тогда, уравнение (1) имеет асимптотическое по невязке с точностью до  $O(\varepsilon^{5/2})$  решение  $u(t, \varepsilon) = 1 + v_0(t, \varepsilon)$ , для которого  $v_0(t, \varepsilon) = \varepsilon^{1/2} \xi_0(\tau, y) - \varepsilon^2 \xi_0^2(\tau, y) \frac{\partial \xi_0(\tau, y)}{\partial y}$  и  $\tau = \varepsilon^2 t$ ,  $y = (1 - 2\varepsilon)t$ .

В следующем разделе выполнен локальный анализ нулевого состояния равновесия, для этого краевую задачу (7), (8) преобразуем к виду:

$$\frac{\partial \xi}{\partial \tau} = \frac{\partial^2 \xi}{\partial x^2} + \alpha \xi + \xi^2 \frac{\partial \xi}{\partial x}, \quad \xi(\tau, x+1) \equiv -\xi(\tau, x). \quad (9)$$

Для задачи (9) выполнено следующее утверждение.

**Теорема 3.** Пусть  $\alpha < 0$  и пусть решение краевой задачи (9) определено при всех  $\tau \geq \tau_0$  и является непрерывно дифференцируемым по  $\tau$  и  $y$ . Тогда

$$\lim_{\tau \rightarrow \infty} \int_0^2 \xi^2(\tau, y) dy = 0.$$



При условии  $\alpha < \pi^2$  нулевое состояние равновесия краевой задачи (9) асимптотически устойчиво. При выполнении неравенства  $\alpha > \pi^2$  нулевое решение в (9) неустойчиво. Для краевой задачи (7), (8) в случае

$$\alpha = \pi^2 + \varepsilon, \quad 0 < \varepsilon \ll 1, \quad (10)$$

выписана нормальная форма и получена асимптотика устойчивого цикла:

$$\xi \approx 2\sqrt[4]{8\varepsilon} \cos(\pi x + \pi\sqrt{8\varepsilon}\tau + \gamma) + O(\sqrt{\varepsilon}). \quad (11)$$

Также сформулирована следующая теорема о соответствии.

**Теорема 4.** *Найдется такое положительное значение  $\varepsilon_0$ , что для любого  $\varepsilon \in (0, \varepsilon_0)$  краевая задача (9) имеет орбитально асимптотически устойчивый цикл с асимптотикой (11).*

В следующем разделе главы обсуждаются результаты численного анализа краевой задачи (9). Подробно описаны условия проведения опытов и вычислительной процедуры. Выписана, полученная в результате дискретизации, разностная схема. Отмечено, что описанные в предыдущих разделах аналитические свойства решений задачи (9), хорошо согласуются с результатами численных экспериментов. В частности, численно анализируется задача об устойчивости состояния равновесия задачи (9), исследовано соответствие полученных численно и аналитически амплитуды и периода устойчивого периодического режима. Проиллюстрировано решение типа «бегущей волны».

*Выделим основные результаты первой главы.* При  $\alpha \sim 1/2$  и  $\lambda \gg 1$  локальные динамические свойства описываются нелокальным поведением решений специальной нелинейной краевой задачи параболического типа (9). Выделены критические случаи в задаче об устойчивости состояния равновесия. При значениях  $\alpha < 0$  все решения стремятся к нулю. При  $0 < \alpha < \pi^2$  аналитически установлено, что нулевое состояние равновесия устойчиво, и соответственно при численном анализе получено, что все решения стремятся к нулю. При  $\alpha = \pi^2 + \varepsilon$  ( $\varepsilon > 0$ ) — из состояния равновесия рождается устойчивый цикл. Приведена его асимптотика. При  $\alpha > \pi^2$  — численные исследования показали, что имеется единственное устойчивое периодическое решение. При относительно больших  $\alpha$  ( $\alpha \approx \pi^2 + 2$ ) этот цикл имеет релаксационную структуру.

Во **второй главе** диссертационной работы рассмотрена задача распространения волны плотности в логистическом уравнении с запаздыванием и диффузией (уравнение Фишера-Колмогорова-Петровского-Пискунова<sup>3</sup> с запаздыванием):

$$\frac{\partial u}{\partial t} = \frac{\partial^2 u}{\partial x^2} + u[1 - u(t - h, x)], \quad (12)$$

---

<sup>3</sup>Колмогоров, А. Н. Исследование уравнения диффузии, соединенной с возрастанием вещества, и его применение к одной биологической проблеме / А. Н. Колмогоров, И. Г. Петровский, Н. С. Пискунов // Бюллетень МГУ. Сер. А. Математика и Механика. 1937. Т. 1. №6. С. 1–26.

Хорошо известно, что для ряда стандартных граничных условий, в частности, для периодических

$$u(t, x + T) \equiv u(t, x), \quad (13)$$

полученная краевая задача имеет пространственно однородное решение при  $h > \pi/2$ . При условии близости параметра  $h$  к  $\pi/2$ , а также при  $h \gg 1$  это решение устойчиво. Если же значения  $h$  и  $T$  одновременно достаточно велики, то возможна потеря устойчивости решения  $u_0(t)$  и возникновение сложных пространственно неоднородных структур<sup>4</sup>.

В первом разделе главы разобран случай близости запаздывания  $h$  к  $\pi/2$  в предположении, что верно соотношение  $h = \pi/2 + \varepsilon h_1$  где  $0 < \varepsilon \ll 1$ . Если дополнительно предположить, что для параметра  $T$  в (13) выполнено условие  $T \gg 1$ , то динамика краевой задачи (12), (13) существенно усложняется. Поведение решений в малой окрестности состояния равновесия  $u_0 \equiv 1$  тогда в главном определяется нелокальным поведением решений нормализованного комплексного уравнения — уравнения Гинзбурга–Ландау

$$\frac{\partial \xi}{\partial \tau} = \sigma \delta \frac{\partial^2 \xi}{\partial y^2} + h_1 \delta \xi + d |\xi|^2 \xi, \quad (14)$$

$$\xi(\tau, y + 1) \equiv \xi(\tau, y). \quad (15)$$

Здесь  $\tau = \varepsilon t$ ,  $y = T^{-1}x$  — новые временная и пространственная переменные,  $\sigma = T^{-2}\varepsilon^{-1}$  — величина порядка единицы,  $\delta = (4 - 2\pi i)/(4 + \pi^2)$ ,  $d = -2(3\pi - 2 + i(\pi + 6))/(20 + 5\pi^2)$ . Решения краевых задач (12), (13) и (14), (15) связаны формулой

$$u(t, x) = 1 + \varepsilon^{1/2} [\xi(\tau, y) \exp(it) + \bar{\xi}(\tau, y) \exp(-it)] + O(\varepsilon). \quad (16)$$

Динамические свойства (14), (15) существенно зависят от параметра  $\sigma$ . Например, при достаточно малых  $\sigma$  все простейшие периодические решения вида  $\rho_m \exp(2\pi i m y + i \varphi_m \tau)$ , ( $m = 0, \pm 1, \pm 2, \dots$ ) неустойчивы.

В следующем разделе рассмотрен вопрос о поведении решений с начальными условиями из некоторой достаточно малой, но независимой от  $\varepsilon$  окрестности состояния равновесия  $u_0 \equiv 1$  уравнения

$$\frac{\partial u}{\partial t} = \frac{\partial^2 u}{\partial x^2} + u \left[ 1 - u \left( t - \frac{\pi}{2} - \varepsilon, x \right) \right]. \quad (17)$$

При его исследовании получено уравнение типа Гинзбурга–Ландау для определения  $\xi(\tau, y)$ :

$$\frac{\partial \xi}{\partial \tau} = \delta \frac{\partial^2 \xi}{\partial y^2} + \delta \xi + d |\xi|^2 \xi, \quad (18)$$

<sup>4</sup> Wu, *J. Theory and Applications of Partial Functional Differential Equations* / *J. Wu*. New York, Springer-Verlag, 1996.

где  $\delta$  и  $d$  определяются по тем же формулам, что и в (14). Отметим, что  $\operatorname{Re} \delta > 0$  и  $\operatorname{Re} d < 0$ , поэтому имеет место следующая теорема.

**Теорема 5.** Пусть уравнение (18) имеет ограниченное при  $\tau \rightarrow +\infty$  и при  $y \rightarrow \pm\infty$  решение  $\xi_0(\tau, y)$ . Тогда уравнение (17) имеет асимптотическое по невязке с точностью до  $O(\varepsilon^{3/2})$  решение  $u(t, x, \varepsilon)$ , для которого

$$u(t, x, \varepsilon) = 1 + \varepsilon^{1/2}[\xi_0(\tau, y) \exp(it) + \bar{\xi}_0(\tau, y) \exp(-it)] + \\ + \varepsilon \left[ \frac{2-i}{5} \xi^2(\tau, y) \exp(2it) + \frac{2+i}{5} \bar{\xi}^2(\tau, y) \exp(-2it) \right] + O(\varepsilon^{3/2}).$$

Учитывая полученные результаты, в следующем разделе рассмотрены некоторые свойства уравнения распространения волны. Выполним в уравнении (12) замену в виде бегущей волны  $u(t, x) = w(2t \pm x)$  и перейдем к новому времени  $s = 2t \pm x$ , тогда для переменной  $w(s)$  имеем следующее уравнение второго порядка с запаздыванием:

$$w'' - 2w' + w[1 - w(s - 2h)] = 0, \quad (19)$$

где штрихом обозначена производная по переменной  $s$ . Свойства устойчивости нулевого решения уравнения (19) не зависят от  $h$ , это решение неустойчиво, ему соответствует кратный корень равный единице. Свойства устойчивости единичного состояния равновесия определяются расположением корней характеристического квазиполинома

$$P(\lambda) \equiv \lambda^2 - 2\lambda - \exp(-2h\lambda). \quad (20)$$

Доказаны следующие утверждения.

**Лемма 4.** Квазиполином  $P(\lambda)$  имеет при  $0 < h < h_1^*$  ровно три вещественных корня: один положительный и два отрицательных, а при  $h > h_1^*$  — единственный положительный вещественный корень. Здесь  $h_* = (\lambda_* - 1)/(\lambda_*^2 - 2\lambda_*) \approx 0.56077$ , а  $\lambda_*$  является корнем трансцендентного уравнения  $\lambda^2 - 2\lambda - \exp((2 - 2\lambda)/(\lambda - 2))$ .

**Лемма 5.** Все корни квазиполинома  $P(\lambda)$ , кроме одного вещественного положительного, лежат при  $0 < h < h_2^*$  в левой комплексной полуплоскости. Здесь

$$h_2^* = \frac{\arccos(-\sqrt{5} + 2)}{2\sqrt{\sqrt{5} - 2}} \approx 1.86173. \quad (21)$$

При  $h = h_2^*$  на мнимую ось выходит пара чисто мнимых корней  $\lambda = \pm i\omega_0$ , причем

$$\omega_0 = \sqrt{\sqrt{5} - 2} \approx 0.48587. \quad (22)$$

В окрестности решения  $w(s) \equiv 1$  найдена асимптотика цикла, ответвляющегося от этого решения при  $h = h_2^* + \mu$ , где  $0 < \mu \ll 1$ . В этом случае верно следующее утверждение.

**Лемма 6.** *Существует такое  $\mu_0 > 0$ , что для всех  $0 < \mu < \mu_0$  уравнение (19) имеет дихотомичный цикл, неустойчивое многообразие которого одномерно, а асимптотика задается формулой*

$$w(s, \mu) = 1 + 2\sqrt{-\mu\varphi_0/d_0} \cos((\omega_0 + \mu(\psi_0 - c_0\varphi_0/d_0))s + \gamma) + O(\mu), \quad (23)$$

где  $\varphi_0 + i\psi_0 = \frac{2\omega_0^2(-1 + i\omega_0)}{P'(i\omega_0)}$ ,  $d_0 + ic_0 = \frac{1}{P'(i\omega_0)} \left( 2\omega_0^2(1 - \omega_0^2 - 2i\omega_0) + b \left( (\omega_0^2 + 2i\omega_0)^2 - \frac{1}{\omega_0^2 + 2i\omega_0} \right) \right)$ ,  $b = \frac{\omega_0^2 + 2i\omega_0}{4\omega_0^2 + 4i\omega_0 + (\omega_0^2 + 2i\omega_0)^2}$  и  $\gamma$  — произвольная константа, определяющая фазовый сдвиг вдоль цикла. Приближенные значения коэффициентов равны  $\varphi_0 + i\psi_0 \approx 0.136807 - 0.20660i$  и  $d_0 + ic_0 \approx -0.04429 - 0.03664i$ .

В следующем разделе диссертационной работы приведены результаты численного исследования распространения волн концентрации в уравнении (12) на некотором отрезке  $[a, b]$  от локализованного по пространству начального возмущения. При этом разница  $|a - b|$  выбиралась достаточно большой для того, чтобы можно было проследить за распространением волны от начального момента до момента встречи фронта волны с границами  $a$  или  $b$ . Подробно описаны условия проведения опытов и вычислительной процедуры. Выписана, полученная в результате дискретизации, разностная схема. Описание поведения уравнения (12) с запаздыванием проведено в сравнении с классическим уравнением КПП без запаздывания. В работе приведены результаты численного эксперимента, полученные при значениях запаздывания 0, 1, 1.6, 1.7, 1.8 и 2, которые являются наиболее показательными для исследования структуры фронта распространения волны. Построены изображения плотности распределения решения уравнения КПП с запаздыванием и разрезы в различных плоскостях, позволяющие уточнить процесс распространения волны и зарождения осцилляций на границе фронта и в центральной ее части.

*Выделим основные результаты второй главы.*

Для выяснения некоторых особенностей качественного поведения решений уравнения КПП с запаздыванием было построено уравнение Гинзбурга–Ландау, которое описывает динамические свойства этого уравнения вблизи состояния равновесия  $u_0 \equiv 1$ .

Изучение уравнения распространения волны (19) позволило найти критические значения параметра запаздывания, при которых, по-видимому, меняется структура пространственного распределения решения задачи.

Численный анализ, выполненный с учетом аналитических результатов, позволил выделить следующие промежутки значений запаздывания: промежуток, на котором поведение решений уравнения с запаздыванием близко

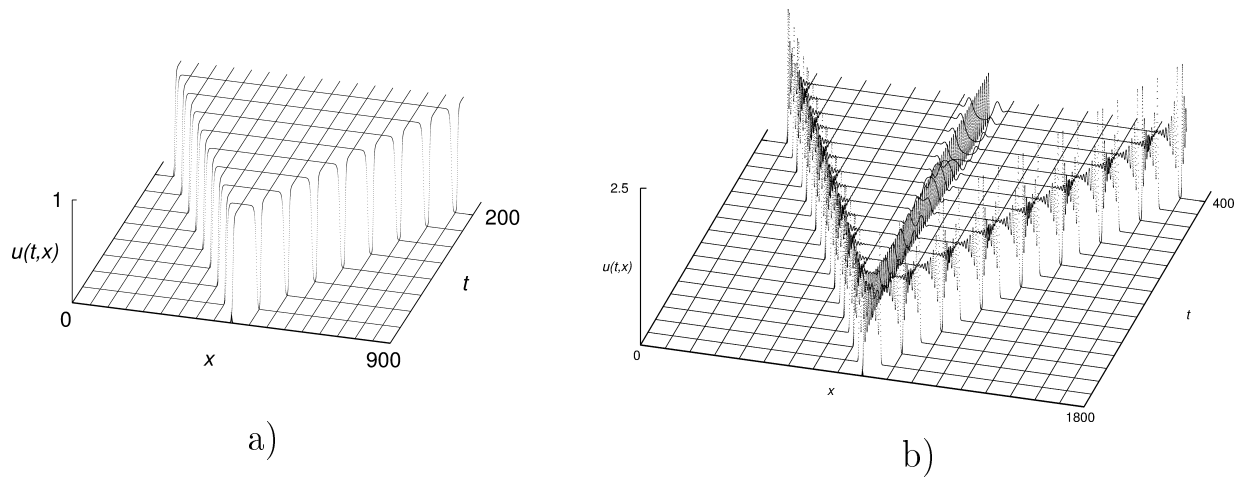


Рис. 1. Распространение волны в уравнении КПП с запаздыванием а)  $h = 0$ ; б)  $h = 1.6$

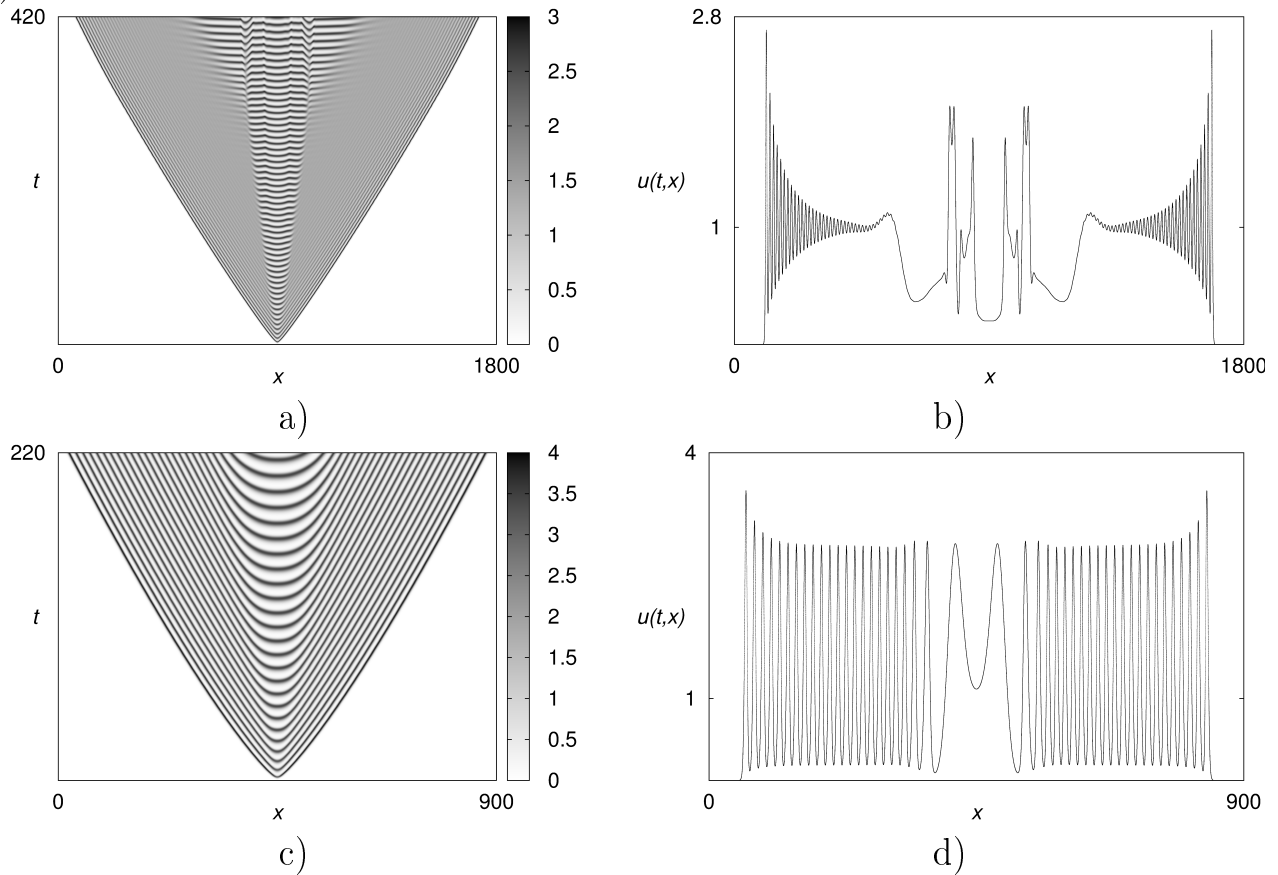


Рис. 2. Решение уравнения КПП с запаздыванием а) плотность распределения  $u(t, x)$  в оттенках серого при  $h = 1.8$ ; б) разрез при  $t = 400$  и  $h = 1.8$ ; в) плотность распределения  $u(t, x)$  в оттенках серого при  $h = 2$ ; д) разрез при  $t = 200$  и  $h = 2$

к их поведению в задаче без запаздывания (рисунок 1a); промежуток значений запаздывания, при которых в центре области распространения волны появляются участки решения со сложным пространственным распределением (рисунок 1b); найдены значения  $h$ , при которых в пространственном распределении решения сохраняются участки, где решение стремится к единице (рисунки 2a и 2b); найден промежуток значений запаздывания, при которых вся область распространения волны заполнена интенсивными колебаниями по пространственной и временной переменным (рисунки 2c и 2d).

В **третьей главе** диссертационной работы рассмотрена задача распространения волны плотности в логистическом уравнении с отклонением пространственной переменной и диффузией:

$$\frac{\partial u}{\partial t} = \frac{\partial^2 u}{\partial x^2} + u[1 - u(t, x - h)]. \quad (24)$$

Для уравнения (24) с периодическими краевыми условиями построена нормальная форма и найдены условия существования и устойчивости соответствующих неоднородных режимов. Кроме того, проанализировано уравнение профиля волны и найдены условия возникновения у него колебательных режимов.

Как и в случае уравнения с запаздывания (12), выполним в уравнении (24) замену в виде бегущей волны  $u(t, x) = w(2t \pm x)$  и перейдем к новому времени  $s = 2t \pm x$ , тогда для переменной  $w(s)$  имеем следующее уравнение второго порядка с запаздыванием:

$$w'' - 2w' + w[1 - w(s - h)] = 0, \quad (25)$$

где штрихом обозначена производная по переменной  $s$ . Проведя рассуждения, аналогичные рассуждениям второй главы, не трудно выписать характеристический квазиполином

$$P(\lambda) \equiv \lambda^2 - 2\lambda - \exp(-h\lambda). \quad (26)$$

Для него определены критические значения  $h_1^* \approx 1.12154$  и  $h_2^* \approx 3.72346$  вдвое большие, чем приведенные в леммах 4, 5 и выполнены аналогичные леммам 4, 5 утверждения.

Рассматривая окрестность решения  $w(s) \equiv 1$  уравнения (25), получим аналогичное лемме 6 утверждение.

**Лемма 9.** Пусть  $h = h_2^* + \mu$ , где  $0 < \mu \ll 1$ , тогда существует такое  $\mu_0 > 0$ , что для всех  $0 < \mu < \mu_0$  уравнение (25) имеет дихотомичный цикл, неустойчивое многообразие которого одномерно, а асимптотика задается формулой

$$w(s, \mu) = 1 + 2\sqrt{-\mu\varphi_0/d_0} \cos((\omega_0 + \mu(\psi_0 - c_0\varphi_0/d_0))s + \gamma) + O(\mu), \quad (27)$$

где  $\varphi_0 + i\psi_0 \approx 0.136807 - 0.20660i$  и  $d_0 + ic_0 \approx -0.04429 - 0.03664i$  и  $\gamma$  — произвольная константа, определяющая фазовый сдвиг вдоль цикла.

В следующем разделе рассмотрено логистическое уравнение с диффузией и отклонением (24), дополненное периодическими краевыми условиями

$$u(t, x) = u(t + T), \quad (28)$$

где  $T > 0$  — период. В этой ситуации фазовым пространством задачи (24), (28) будем считать соболевское пространство  $T$ -периодических функций  $W_2^2(0, T)$ . Для исследования устойчивости состояния равновесия  $u(t, x) \equiv 1$  краевой задачи (24), (28) линеаризуем ее на этом решении и перейдем к краевой задаче

$$\frac{\partial v}{\partial t} = \frac{\partial^2 v}{\partial x^2} - v(t, x - h), \quad v(t, x) = v(t + T). \quad (29)$$

Если в (29) выполнить разложение по пространственным модам, то на каждой из мод, после замены  $v(t, x) = \exp \lambda \exp i\omega x$  получаем уравнение

$$\lambda = -\omega^2 - \exp i\omega h. \quad (30)$$

Не трудно найти критические значения величин  $\lambda$  и  $h$ :

$$h^* = 2.791544, \quad \omega^* = 0.88077, \quad (31)$$

такие, что при  $h < h^*$  состояние равновесия  $u(t, x) \equiv 1$  краевой задачи (24), (28) асимптотически устойчиво. При условии, что  $h = h^* + \varepsilon$  и  $T = 2\pi/\omega^*$ , выполнено следующее утверждение.

**Лемма 10.** Пусть  $h = h^* + \varepsilon$ , где  $0 < \varepsilon \ll 1$ , тогда существует такое  $\varepsilon_0 > 0$ , что для всех  $0 < \varepsilon < \varepsilon_0$  краевая задача (24), (28) имеет орбитально асимптотически устойчивый цикл, асимптотика которого задается формулой  $u(t, x, \varepsilon) = 1 + \sqrt{\varepsilon}u_0(t, \tau, x) + O(\varepsilon)$ , где  $u_0(t, \tau, x) = z(\tau) \exp(i(\omega_0 t + \omega^* x)) + \bar{z}(\tau) \exp(-i(\omega_0 t + \omega^* x))$ ,  $\omega_0 = \sin \omega^* h^*$  и медленная переменная  $z$  заменена выражением (23), в котором  $\varphi_0 + i\psi_0 \approx 0.5558 - 0.6833i$ ,  $d_0 + ic_0 \approx -0.3004 + 0.6165i$  и  $\gamma$  — произвольная константа, определяющая фазовый сдвиг вдоль цикла.

В следующем разделе проведен численный анализ уравнения КПП с пространственным отклонением (24) на некотором отрезке  $[a, b]$  от локализованного по пространству начального возмущения. При этом разница  $|a - b|$  выбиралась достаточно большой для того, чтобы можно было проследить за распространением волны от начального момента до момента встречи фронта волны с границами  $a$  или  $b$ . Подробно приведены описания условий проведения опытов и вычислительной процедуры. Выписана, полученная в результате дискретизации, разностная схема. Описание поведения уравнения с отклонением проведено в сравнении с классическим уравнением КПП без

отклонения. В последнем разделе третьей главы приведены результаты численного эксперимента, полученные при значениях отклонения 1.2, 2.7, 2.81 и 3, которые являются наиболее показательными для исследования структуры фронта распространения волны. Построены изображения плотности распределения решения уравнения КПП с отклонением и разрезы в различных плоскостях, позволяющие уточнить процесс распространения волны и возникновения осцилляций на границах фронтов. Подробно рассмотрено пространственное распределение решения при  $h = 2.81$ . График решения  $u(t, x)$  при  $t = 4500$  был разбит на три части с различной структурой (рисунок 4). Используя полученное пространственное распределение решения при данном значении  $t$  были сосчитаны корреляционный интеграл и корреляционная размерность каждой части.

*Выделим основные результаты третьей главы.*

Изучение уравнения распространения волны (25) позволило найти критические значения параметра отклонения, при которых существенно меняется вид пространственного распределения решения задачи.

Для выяснения некоторых особенностей качественного поведения решений уравнения КПП с отклонением было изучено уравнение (24) с периодическими краевыми условиями вблизи состояния равновесия  $u_0 \equiv 1$ . Это позволило выяснить характер потери устойчивости пространственно однородного решения этой задачи и найти асимптотику режимов, возникающих при этом.

Численный анализ, выполненный с учетом аналитических результатов, позволил выделить следующие промежутки значений отклонения: промежуток, на котором поведение решений уравнения с отклонением близко к их поведению в задаче без отклонения; промежуток значений отклонения, при которых на левом фронте области распространения волны появляются участки с колебаниями, затухающими к единице (рисунок 3 и 4); промежуток значений отклонения, при которых вся область распространения волны заполняется интенсивными колебаниями решения со сложным пространственным распределением. Найдены статистические характеристики (корреляционный интеграл) этих режимов.

Нерегулярные режимы решений, рассмотренных в предыдущих главах требуют дополнительного изучения. С этой целью в **четвертой главе** диссертационной работы рассмотрен вопрос вычисления некоторых инвариантных характеристик (ляпуновских экспонент) для систем дифференциальных уравнений с запаздывающим аргументом. Анализ спектра показателей Ляпунова широко применяется для исследования сложной динамики в системах обыкновенных дифференциальных уравнений и в моделях, сводящихся к отображениям. Случаи, когда их удается найти аналитически, являются исключительно редкими. Для вычисления старшего показателя обычно применяют метод Бенеттина. Дальнейшее развитие данный метод получил с добавлением перенормировки начальных условий по алгоритму Грама-Шмидта,



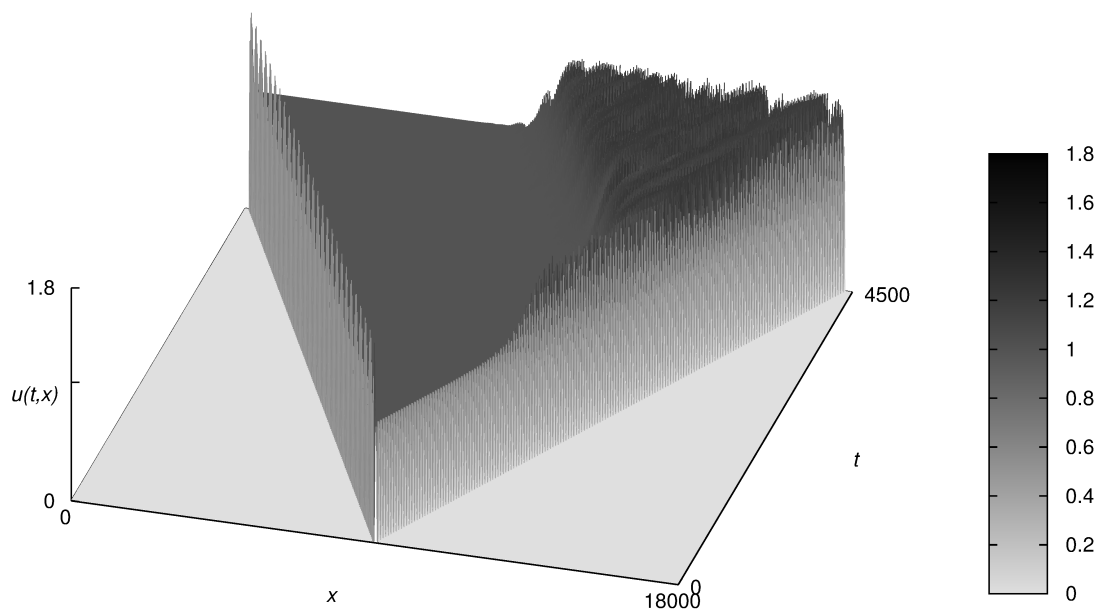


Рис. 3. Распространение волны в уравнении КПП с отклонением при  $h = 2.81$

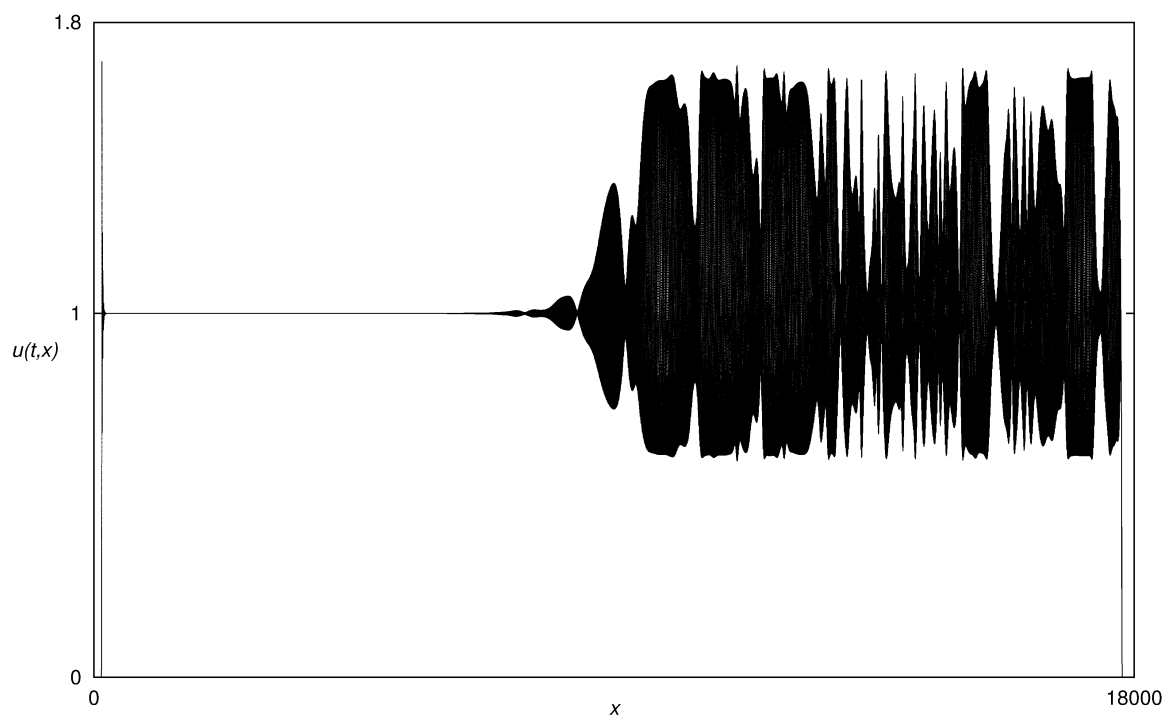


Рис. 4. Пространственное распределение решения уравнения КПП с отклонением при  $t = 4500$  и отклонении  $h = 2.81$

что позволило вычислять спектр показателей Ляпунова. В конечномерном случае, по теореме Оселедеца<sup>5</sup>, линеаризованная на аттракторе система вида

$$dx/dt = A(t)x, \quad (32)$$

где  $x \in R^n$ , а  $A(t)$  —  $n \times n$  матрица, всегда является правильной по Ляпунову, что позволяет эффективно вычислять ляпуновские экспоненты. В случае уравнений с запаздывающим аргументом и краевых задач такую теорему доказать не удастся. Поэтому при разработке алгоритмов вычисления ляпуновских экспонент важно иметь модельное уравнение с запаздыванием, для которого их спектр может быть определен каким-либо другим способом. Наличие такой задачи позволяет протестировать разработанный алгоритм и убедиться в его работоспособности.

В начале главы приводятся описание вычислительной процедуры. Алгоритм основан на усовершенствованном методе Бенеттина с перенормировкой начальных условий по алгоритму Грама-Шмидта, а именно в следовании за траекториями решений в течение небольших промежутков времени и вычисление скоростей их расхождения с последующим усреднением этих значений по всему аттрактору.

Далее приводятся результаты тестирования разработанного алгоритма на логистическом уравнении с запаздыванием в случае устойчивого единичного состояния равновесия. Показана близость значений ляпуновских экспонент, вычисленных в соответствии с предложенным алгоритмом и по корням характеристического квазимногочлена уравнения. Показано, что точность вычисления показателей существенно зависит от величины выбранного разбиения.

В последнем разделе главы применение алгоритма проиллюстрировано на некоторых задачах с запаздыванием. В частности, приводятся результаты численного моделирования: для логистического уравнения с двумя запаздываниями<sup>6</sup>, для системы уравнений диффузионного взаимодействия пары близких осцилляторов нейронного типа<sup>7</sup> и для такой же системы с учетом запаздывания в цепочке связи между осцилляторами<sup>8</sup>.

Отдельно выделим результаты работы алгоритма в случае системы уравнений Ланга-Кобаяши<sup>9</sup>

$$\frac{dE}{dt} = v(1 + i\alpha)EZ + \gamma e^{i(\omega - \omega_0)t} E(t - h), \quad \frac{dZ}{dy} = Q - Z - (1 + Z)|E|^2, \quad (33)$$

<sup>5</sup> Оселедец, В.И. Мультипликативная эргодическая теорема. Характеристические показатели Ляпунова динамических систем / В.И. Оселедец // Труды Моск. матем. об-ва. 1968. Т. 19. С. 197–231

<sup>6</sup> Глызин, С.Д. Учет возрастных групп в уравнении Хатчинсона / С.Д. Глызин // Моделирование и анализ информационных систем. 2007. Т. 14, №3. С. 29–42.

<sup>7</sup> Глызин, С.Д. Динамика взаимодействия пары осцилляторов нейронного типа / С.Д. Глызин, Е.О. Киселева // Моделирование и анализ информационных систем. 2008. Т. 15, №2. С. 75–88.

<sup>8</sup> Глызин, С.Д. Учет запаздывания в цепочке связи между осцилляторами / С.Д. Глызин, Е.О. Киселева // Моделирование и анализ информационных систем. 2010. Т. 17, №2. С. 133–143.

<sup>9</sup> Глазков, Д.В. Особенности динамики модели Ланга-Кобаяши в одном критическом случае / Д.В. Глазков // Моделирование и анализ информационных систем. 2008. Т. 15, №2. С. 36–45.

и уравнения Стюарта-Ландау<sup>10</sup>

$$\dot{z}(t) = z(t) - (1 - i\beta)z(t)|z(t)|^2 + ke^{i\theta}z(t - \tau), \quad (34)$$

где  $z(t)$  — комплексная функция. Для них получены значения параметров, при которых наблюдается гиперхаотическая динамика (см. рисунки 5 и 6).

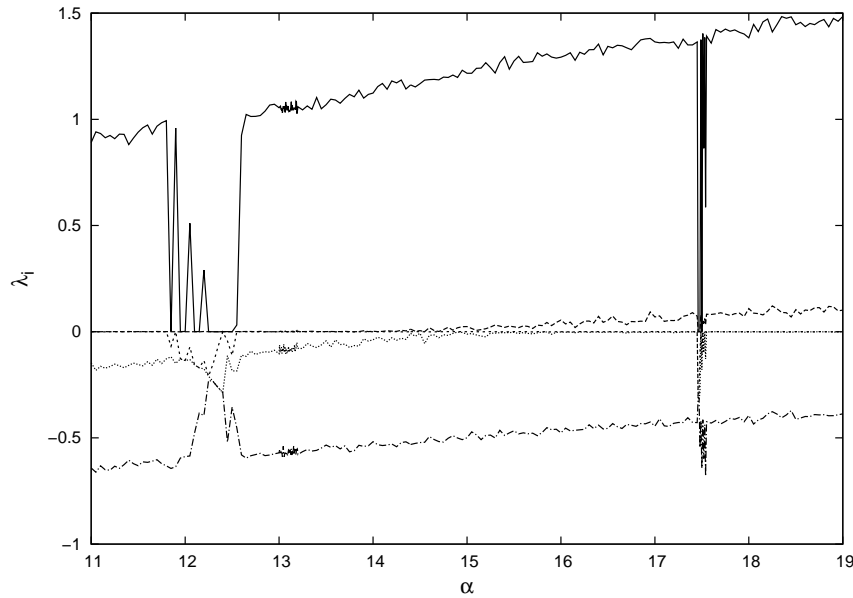


Рис. 5. Зависимость первых пяти показателей Ляпунова уравнения Ланга-Кобаяши от параметра  $\alpha$  при  $Q = 10$ ,  $v = 2$ ,  $\gamma = 2$ ,  $\omega_0 = 0.3$ ,  $\omega = 1$ ,  $h = 1$

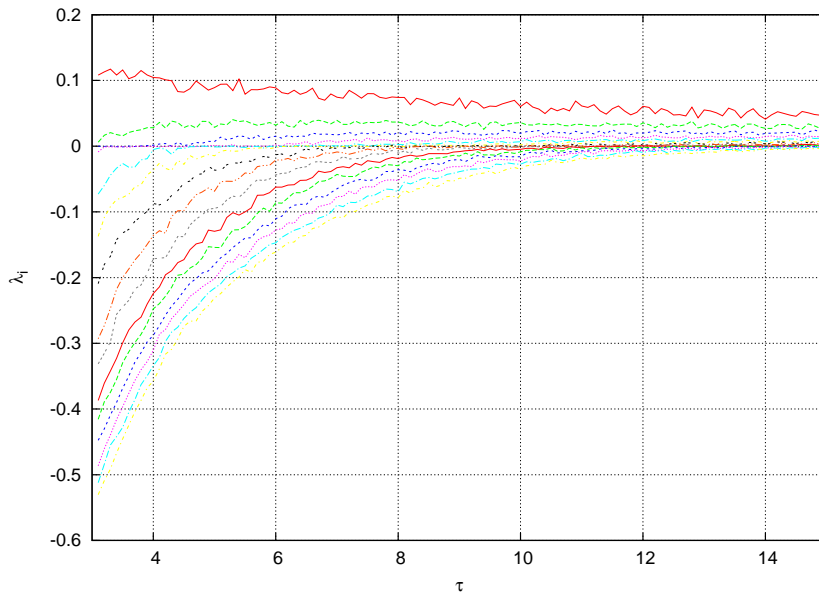


Рис. 6. Зависимость первых пятнадцати показателей Ляпунова уравнения Стюарта-Ландау от запаздывания  $\tau$  при  $\beta = 4$  и  $k = 1.5$

<sup>10</sup> Yanchuk, S. Delay and periodicity / S. Yanchuk, P. Perlikowski // Phys. Rev. E.79.046221, 2009.

*Выделим основные результаты четвертой главы.* Разработан вычислительный алгоритм и получены результаты его тестирования на логистическом уравнении с запаздыванием. Проиллюстрировано применение алгоритма к ряду динамических систем с запаздыванием, в частности, приводятся результаты численного моделирования для уравнений Ланга-Кобаяши и Стюарта-Ландау, для которых получены значения параметров, соответствующих гиперхаотической динамике.

В **заключении** обобщаются результаты диссертационной работы, приводятся возможные направления развития и формулируются выводы.

В **приложении А** приводятся фрагменты исходного кода программного комплекса «Оценка показателей Ляпунова для систем дифференциальных уравнений с запаздывающим аргументом» на языке Java.

В **приложении В** приведен пример сохраненной вычислительной задачи для программного комплекса.

В **приложении С** приведено описание графического интерфейса пользователя программного комплекса.

## **Основные результаты и выводы**

В диссертационной работе рассмотрено логистическое уравнение с запаздыванием; исследована его локальная динамика; определены критические случаи в задаче об устойчивости состояния равновесия, а также численно проиллюстрированы полученные аналитические результаты.

Проведено исследование задачи распространения волны плотности в логистическом уравнении с запаздыванием и диффузией. Выделены значения запаздывания, при которых качественно меняется профиль волны.

Изучена динамика распространения волны плотности в логистическом уравнении с отклонением пространственной переменной и диффузией. Выделены значения отклонения, при которых качественно меняется профиль волны.

Разработан алгоритм вычисления инвариантных размерностных характеристик для дифференциальных уравнений с запаздыванием. Проиллюстрирована применимость алгоритма к задачам с запаздыванием, для которых возможно наличие режима гиперхаоса (логистическое уравнение с двумя запаздываниями, уравнения диффузионного взаимодействия пары близких осцилляторов нейронного типа с учетом и без учета запаздывания в цепочке связи между осцилляторами, системы уравнений Ланга-Кобаяши и Стюарта-Ландау). На основе алгоритма оценки спектра показателей Ляпунова был создан программный комплекс, для которого получено свидетельство о регистрации в Федеральной службе по интеллектуальной собственности, патентам и товарным знакам Российской Федерации.

## Список публикаций по теме диссертации

### Публикации в перечне ведущих рецензируемых научных журналов, рекомендованных ВАК

1. *Алешин, С.В.* Уравнение Колмогорова–Петровского–Пискунова с запаздыванием / *С.В. Алешин, С.Д. Глызин, С.А. Кащенко* // Моделирование и анализ информационных систем. 2015. Т. 22, №2. С. 304–321.
2. *Алешин, С.В.* Численный анализ бегущих волн уравнения Колмогорова–Петровского–Пискунова с запаздывающим аргументом. О работе семинара «Нелинейная динамика» / *С.В. Алешин* // Моделирование и анализ информационных систем. 2014. Т. 21, №6. С. 176–178.
3. *Алешин, С.В.* Локальная динамика логистического уравнения, содержащего запаздывание / *С.В. Алешин, С.А. Кащенко* // Моделирование и анализ информационных систем. 2014. Т. 21, №1. С. 73–88.

### Работы, опубликованные в других изданиях

4. *Алешин, С.В.* Численный анализ уравнения Колмогорова–Петровского–Пискунова / *С.В. Алешин, С.А. Кащенко* // Сборник тезисов докладов Международный научный семинар Актуальные проблемы математической физики, Москва, МГУ, 2014 г., с 95–96.
5. *Алешин, С.В.* Оценка инвариантных числовых показателей аттракторов систем дифференциальных уравнений с запаздыванием / *С.В. Алешин* // Вычислительные технологии в естественных науках: методы суперкомпьютерного моделирования. 1–3 окт. 2014, Россия, Таруса: сб. тр. / Под ред. Р.Р. Назирова, Л.Н. Щура. М.: ИКИ РАН, 2014. С. 10–17.
6. *Алешин, С.В.* Вычисление инвариантных характеристик хаотического аттрактора Ланга–Кобаяши / *С.В. Алешин* // Вестник Ярославского государственного университета им. П.Г. Демидова. Серия Естественные науки, №2, 2013.
7. *Алешин, С.В.* Численный анализ генерации гиперхаоса в уравнении Стюарта–Ландау / *С.В. Алешин* // Международная конференция «Нелинейные явления в задачах современной математики и физики», посвященная 210-летию Демидовского университета, Ярославль, 4–5 декабря 2013 г., тезисы докладов, с. 4–8.
8. *Алешин, С.В.* Численный анализ генерации гиперхаоса в модели Ланга–Кобаяши / *С.В. Алешин* // Современные проблемы математики и информатики. Сборник научных трудов молодых ученых, аспирантов и студентов. Выпуск 13. Ярославль 2013. с. 21–28.
9. *Алешин, С.В.* Вычисление спектра показателей Ляпунова для дифференциальных уравнений с запаздывающим аргументом / *С.В. Алешин* // Заметки по информатике и математике. 2012. №4. С. 7–12.

Подписано в печать 26.09.15 Формат 60x84/16  
Тираж 100 экз. Заказ 17/15.  
Отдел оперативной полиграфии ЯрГУ  
150000, Ярославль, ул. Советская, 14.